

# PATENT ABSTRACTS OF JAPAN

(11)Publication number : 09-213917

(43)Date of publication of application : 15.08.1997

(51)Int.CI. H01L 27/14  
H01L 27/15  
H01L 31/10

(21)Application number : 08-016118 (71)Applicant : SANYO ELECTRIC CO LTD

(22)Date of filing : 31.01.1996 (72)Inventor : TABATA TERUO

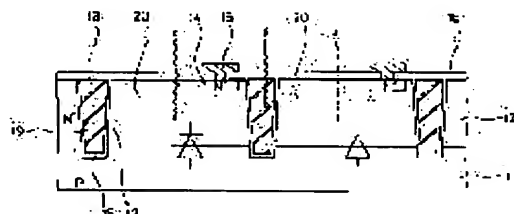
## (54) OPTICAL SEMICONDUCTOR INTEGRATED CIRCUIT DEVICE

### (57)Abstract:

**PROBLEM TO BE SOLVED:** To prevent a photo diode deteriorated in frequency characteristic due to a parasitic capacitance and adjacent photo diodes from malfunctioning by forming a reverse conductivity type epitaxial layer on a semiconductor substrate and dielectric isolation region piercing the epitaxial layer to the substrate.

**SOLUTION:** A p-type semiconductor substrate 11 uses a Si single crystal substrate to mechanically support a semiconductor integrated circuit device. An n-type epitaxial layer 12 is laminated on the substrate 11 and dielectric isolation region 13 is composed of trenches 17 extending from the surface of the epitaxial layer 12 to the substrate 11, wall oxide film 18, and dielectric layer 19. This region 13 perfectly surrounds and isolates island regions 20 which form an optical semiconductor device.

Thus, the frequency characteristic can be greatly improved to realize a high speed operation. Mutual interference due to flow-in of carriers generated by isolation at the p-n junction is completely avoided and this contributes to the elevation of the degree of integration.



### LEGAL STATUS

[Date of request for examination]

[Date of sending the examiner's decision of rejection]

[Kind of final disposal of application other than the examiner's decision of rejection or application converted registration]

[Date of final disposal for application]

[Patent number]

[Date of registration]

[Number of appeal against examiner's decision of rejection]

Best Available Co...  
...r

[Date of requesting appeal against examiner's  
decision of rejection]

[Date of extinction of right]

Copyright (C); 1998,2003 Japan Patent Office

**\* NOTICES \***

JPO and NCIPI are not responsible for any damages caused by the use of this translation.

1. This document has been translated by computer. So the translation may not reflect the original precisely.
2. \*\*\*\* shows the word which can not be translated.
3. In the drawings, any words are not translated.

---

**CLAIMS**

---

**[Claim(s)]**

[Claim 1] Optical semiconductor integrated circuit equipment characterized by forming the optical semiconductor device using said epitaxial layer which possessed the dielectric isolation region which penetrated the epitaxial layer and said epitaxial layer of the reverse conductivity type formed on the semi-conductor substrate of one conductivity type, and said semi-conductor substrate, and reached said semi-conductor substrate at least, and was surrounded in said dielectric isolation region.

[Claim 2] Optical semiconductor integrated circuit equipment characterized by forming the optical semiconductor device using said epitaxial layer which possessed the dielectric isolation region which penetrated the epitaxial layer and said epitaxial layer of the reverse conductivity type formed on the semi-conductor substrate of one conductivity type, and said semi-conductor substrate, and reached said semi-conductor substrate at least, and was surrounded in said dielectric isolation region, and the PN junction formed with said semi-conductor substrate.

[Claim 3] Said dielectric isolation region is optical semiconductor integrated circuit equipment according to claim 1 or 2 characterized by being formed with the trench with which even said semi-conductor substrate reached, and the polycrystalline silicon with which said trench was filled up.

[Claim 4] Said optical semiconductor device is optical semiconductor integrated circuit equipment according to claim 1 or 2 characterized by being a photodiode.

[Claim 5] Optical semiconductor integrated circuit equipment characterized by having two or more optical semiconductor devices which used said two or more epitaxial layers which possessed the dielectric isolation region which penetrated the epitaxial layer and said epitaxial layer of the reverse conductivity type formed on the semi-conductor substrate of one conductivity type, and said semi-conductor substrate, and reached said semi-conductor substrate at least, and were surrounded in said dielectric isolation region, and adjoined.

[Claim 6] Said dielectric isolation region is optical semiconductor integrated circuit equipment according to claim 4 characterized by being formed with the trench with which even said semi-conductor substrate reached, and the polycrystalline silicon with which said trench was filled up.

[Claim 7] Said optical semiconductor device is optical semiconductor integrated circuit equipment according to claim 5 characterized by being a photodiode.

---

[Translation done.]

## \* NOTICES \*

JPO and NCIPI are not responsible for any damages caused by the use of this translation.

1. This document has been translated by computer. So the translation may not reflect the original precisely.
2. \*\*\*\* shows the word which can not be translated.
3. In the drawings, any words are not translated.

## DETAILED DESCRIPTION

## [Detailed Description of the Invention]

## [0001]

[Field of the Invention] This invention relates to the optical semiconductor integrated circuit equipment having optical semiconductor devices, such as a photodiode which used dielectric separation.

## [0002]

[Description of the Prior Art] Compared with the integrated circuit device which made each separately and hybridized it, the monolithic light semiconductor integrated circuit equipment which unified the photodiode which is a photo detector, and its circumference circuit can realize a large cost cut, and has the advantage strong also against the noise by electromagnetic field from the exterior.

[0003] That conventional optical semiconductor integrated circuit equipment is indicated to be by JP,1-205564,B is known. Conventional optical semiconductor integrated circuit equipment is explained using drawing 8 and drawing 9. drawing 8 -- setting -- (1) -- for the bottom isolation region of P+ mold, and (4), as for N+ mold cathode ejection diffusion field and (6), the top isolation region of P+ mold and (5) are [ the semi-conductor substrate of P type, and (2) / the epitaxial layer of N-mold, and (3) / a cathode electrode and (7) ] silicon oxide.

[0004] With this structure, the PN junction formed between the epitaxial layers (2) surrounded in the semi-conductor substrate (1), the top isolation region (4), and the bottom isolation region (3) is used as a photodiode. In this photodiode, it is detected and used for a cathode ejection diffusion field (5) from the cathode electrode (6) which carried out ohmic contact, using as a current the carrier generated by the light by which incidence is carried out to an epitaxial layer (2).

[0005] Drawing 9 shows the detector. The detection resistance R and Photodiode PD were connected to the serial between DC power supplies E, and the operational amplifier OP has detected the potential of the connection node of Photodiode PD and the detection resistance R. In addition, the capacity C connected to Photodiode PD at juxtaposition is the parasitic capacitance by the depletion layer (8) shown in drawing 8 formed of reverse bias potential between a top and a bottom isolation region (3), (4), and an epitaxial layer (2) by the dotted line.

[0006] Moreover, two adjoining photodiodes are shown by drawing 8. The detector shown in drawing 9 is connected to each photodiode, respectively, and, naturally it integrates in the same integrated circuit device.

## [0007]

[Problem(s) to be Solved by the Invention] However, since the parasitic capacitance by the depletion layer (8) is inevitably formed with the optical semiconductor integrated circuit equipment of this structure, a time constant circuit is formed by the detection resistance R shown in drawing 9, the frequency characteristics of Photodiode PD worsen, so that parasitic capacitance is large, and it has the trouble which checks high-speed operation.

[0008] Moreover, if incidence of the light is carried out to the isolation region (3) and (4) which have separated between Photodiodes PD when two or more photodiodes PD have been arranged adjacently, as shown in drawing 8, it will flow to both photodiodes PD with which the carrier

excited by that cause adjoined. Therefore, it had the trouble detected as the incidence of light was made also with the photodiode PD which does not wish for the incidence of light. It also had the trouble of reducing a degree of integration, in response to the constraint which forms in an isolation region (3) big enough and (4) compared with the spot of the light by which incidence is carried out for preventing this, or completely arranges independently photograph DAIO 1 DO PD.

[0009]

[Means for Solving the Problem] This invention was made in view of this conventional technical problem, and offers the optical semiconductor integrated circuit equipment which prevents malfunction of the photodiode with which the frequency characteristics by parasitic capacitance got worse and adjoined by separating the \*\* PITAKISHARU layer surrounding a photodiode in a dielectric isolation region.

[0010] If it depends on this invention, since the dielectric isolation region is used, there is no generating of the depletion layer by reverse bias potential between a dielectric isolation region and an epitaxial layer, there is no parasitic capacitance by the depletion layer, aggravation of the frequency characteristics of a photodiode can be eliminated, and high-speed operation can be realized. Moreover, since between each photodiode will be separated in the dielectric isolation region when forming two or more adjoining photodiodes if it depends on this invention, even if incidence of the light is carried out to a dielectric isolation region, malfunction between the photodiodes which the carrier excited by the light was not generated but adjoined from the dielectric isolation region can be prevented.

[0011]

[Embodiment of the Invention] This invention is explained below at a detail, referring to a drawing. Drawing 1 is the sectional view showing the optical semiconductor integrated circuit equipment by this invention. Drawing 2 is the top view showing the optical semiconductor integrated circuit equipment by this invention. For the epitaxial layer of N-mold, and (13), as for N<sup>+</sup> mold cathode ejection diffusion field and (15), in drawing 1, a dielectric isolation region and (14) are [ (11) / the semi-conductor substrate of P type, and (12) / a cathode electrode and (16) ] silicon oxide.

[0012] Since the semi-conductor substrate (11) of P type has the specific resistance of 200 – 1500ohm, and cm and is supporting semiconductor integrated circuit equipment mechanically using a silicon single crystal substrate when semiconductor integrated circuit equipment is completed, it is thickly formed with 300 microns or more. The epitaxial layer (12) of N1 mold grows with the Lynn (P) dope by vapor growth on a semi-conductor substrate (11), and a laminating is carried out to thickness 4–10micro. This thickness is selected by the optimal thickness by the light by which incidence is carried out.

[0013] The dielectric isolation region (13) by which it is characterized [ of this invention ] consists of dielectric-materials layers (19), such as polycrystalline silicon filled up with about 3000A Wall oxide film (18) which oxidized and formed the trench (17) which even a semi-conductor substrate (11) attains, and its front face from the epitaxial layer (12) front face, and a trench (17). It is the description to surround completely the island field (20) which forms optical semiconductor devices, such as photograph DAIO 1 DO, in this invention in this dielectric isolation region (13). Therefore, as shown in drawing 1, when forming two or more optical semiconductor devices adjacently, as for both the light semiconductor device, the island field (20) is separated completely in a dielectric isolation region (13).

[0014] The cathode ejection diffusion field (14) of N-mold is formed in the top face of an epitaxial layer (12) of a selection diffusion method at coincidence at the time of the emitter diffusion of an NPN transistor. The cathode electrode (15) of the aluminum which carried out ohmic contact is prepared in the cathode ejection diffusion field (14). Two or more two or more optical semiconductor devices are arranged in seriate, and the optical semiconductor device by this invention mentioned above may be incorporated, as it may be independently incorporated in semiconductor integrated circuit equipment and is shown in drawing 2. The PN junction in which the epitaxial layer (12) of N-mold with which the semi-conductor substrate (11) of P type formed the common anode field, and this optical semiconductor device was separated separately

in the dielectric isolation region (13) formed the cathode field in, and was formed by the epitaxial layer (12) of a semi-conductor substrate (11) and N-mold constitutes the PN junction of each optical semiconductor device.

[0015] Using the same circuit as what is shown in drawing 9, the detector of the optical semiconductor device by this this invention prepares a detector according to an individual, when there are two or more optical semiconductor devices. This detector is integrated by the epitaxial layer near the optical semiconductor device (12) although it is natural. In the optical semiconductor device by such this invention, since the epitaxial layer (12) is separated electrically in the dielectric isolation region (13), the seal of approval of the reverse bias potential for separation to a dielectric isolation region (13) becomes unnecessary, and generating of the depletion layer by the reverse bias generated at the time of PN separation becomes that there is nothing. Therefore, there is no generating of the parasitic capacitance by the depletion layer, and the time constant circuit formed by the detection resistance R of the detector shown in drawing 9 can be removed. The frequency characteristics of optical semiconductor devices, such as a photodiode, can be improved sharply by this, and high-speed operation can be realized.

[0016] Moreover, since the spot (21) of the light by which incidence is carried out to the optical semiconductor device according to this individual is usually larger than the width of face of an isolation region when the serial shown in drawing 2 is adjoined and optical semiconductor devices, such as two or more photodiodes, have been arranged, in case it shifts to the optical semiconductor device with which this spot (21) adjoins, ranging over both optical semiconductor devices, incidence is surely carried out. Since the carrier excited by the incidence of this light from the dielectric isolation region (13) is not generated even if incidence of that spot (21) is carried out to this dielectric isolation region (13), since the dielectric isolation region (13) is adopted in this invention, the optical semiconductor device with which incidence of the spot (20) is carried out greatly certainly can be detected, and the mutual intervention by the inflow of the carrier generated in PN-junction separation like before can be prevented completely.

[0017] Then, the manufacture approach of the optical semiconductor integrated circuit equipment by this invention is explained with reference to drawing 7 from drawing 3 below. In drawing 3, the laminating of the epitaxial layer (12) of N-mold is first carried out on the semiconductor substrate (11) of P type. At this process, well-known vapor growth carries out the laminating of the epitaxial layer (12) of N-mold of 0.5 ohm-cm extent to about about 4-10micro. The thickness of this shrimp TAKISHARU layer (12) has the thickness which was usually controlled by time amount and was suitable for the light by which incidence is carried out chosen. In addition, an epitaxial layer (12) front face forms the 1st silicon oxide (31) by thermal oxidation.

[0018] In drawing 4, a trench (17) is formed so that an epitaxial layer (12) may be \*\*\*\*(ed). About 1000A silicon nitride (32) is adhered with a reduced pressure CVD method on the 1st silicon oxide (31). Then, about 5000A phosphorus glass (PSG) layer (33) is adhered with a reduced pressure CVD method on it. After acting as a \*\*-king, in order to carry out selective etching of the 1st silicon oxide (31), silicon nitride (32), and phosphorus glass layer (33) on the trench (17) of a schedule, it covers with a photoresist layer (34) except for the trench (17) top which is a schedule. Then, anisotropy dry etching of the epitaxial layer (12) which removes by anisotropy dry etching in order of a phosphorus glass layer (33), a silicon nitride (32), and the 1st silicon oxide (31), and consists of exposed silicon is performed, and the trench (17) with which even a semi-conductor substrate (11) reaches is formed.

[0019] In drawing 5, after removing a photoresist layer (34), it is filled up with the polycrystalline silicon layer (36) which is dielectric materials in a trench (17). About 1000A thin dummy oxide film (not shown) is first formed for the side face of a trench (17) by dummy oxidation in 900 degrees C and a steam ambient atmosphere, a phosphorus glass layer (33) is removed further, it oxidizes within 1000 degrees C and a steam ambient atmosphere, and about 3000A Wall oxide film (18) is formed. Next, the polycrystalline silicon of a non dope is adhered to the thickness of about 1.5micro with a reduced pressure CVD method on the whole surface, and the inside of a trench (17) is fill uped with a dielectric-materials layer (19).

[0020] In drawing 6, \*\* TCHIBATSUKU of the polycrystalline silicon deposited on the front face is carried out by anisotropic etching, it is removed, and only the polycrystalline silicon in a trench (17) is left behind. Next, using a silicon nitride (32) as a mask, selective oxidation is carried out and about 2500A cap oxide film (35) is formed in the polycrystalline silicon layer (19) top face of a trench (17). Since a silicon nitride (32) is removed after that and a cap oxide film (35) is removed by coincidence, a flat top face is formed.

[0021] In drawing 7, the cathode ejection diffusion field (14) of N+ mold is formed in the front face of the island field (20) formed by the epitaxial layer (12) surrounded in the dielectric isolation region (13) by the selection diffusion method. For example, a cathode ejection diffusion field (14) is formed in the emitter diffusion and coincidence of an NPN transistor in many cases. After forming a contact hole in the silicon oxide (16) of a cathode ejection diffusion field (14) after that, it adheres in a spatter, dry etching of the aluminum layer is carried out to a predetermined configuration, and a cathode electrode (15) is formed in the whole surface.

[0022] When magnitude is made into one-side the square of L micro for the front face of the epitaxial layer (12) of Photodiode PD and the thickness of an epitaxial layer (12) is assumed to be t micro, the stray capacity Cpn of the photodiode PD in the conventional vertical PN-junction isolation construction shown in Fig. 8 is [0023] expressed with a formula 1.

[Equation 1]

$$C_{pn} = \frac{\epsilon_0 \epsilon_s}{d} S$$

$$= \frac{\epsilon_0 \epsilon_s}{d} [L^2 + 4tL]$$

$$C_{pn} = \frac{\epsilon_0 \epsilon_s}{d} [(L + 2t)^2 - 4t^2] \dots \text{式1}$$

[0024] Since d is the width of face (micrometer) of a depletion layer (8) here and it is the function of the applied voltage to PN-junction separation, under the same service condition, it can be regarded as a constant. S is surface area (micrometerxmum) including the side face of Photodiode PD, and can also be expressed with a formula 2.

[0025]

[Equation 2]

$$S = L^2 + 4tL \dots \text{式2}$$

[0026] On the other hand, since it is as small as the stray capacity of a side attachment wall can be disregarded, a formula 3 can express stray capacity with the photodiode PD of dielectric separation of this invention.

[0027]

[Equation 3]

$$C_{tr} = \frac{\epsilon_0 \epsilon_s}{d} L^2 \dots \text{式3}$$

[0028] Therefore, the photodiode of this invention can reduce stray capacity from the photodiode PD of the former [ part / of the formula 4 which is the difference of a formula 1 and a formula 3 ].

[0029]

[Equation 4]

$$\frac{\epsilon_0 \epsilon_s}{d} 4tL \dots \text{式4}$$

[0030] If L is set as 100micro angle and applied voltage to 5micro and PN-junction separation is set to 1V for t, specifically, it will become as in Table 1.

[0031]

[Table 1]

L	従来例	本発明
100 μm	42、1fF	35、1fF
50 μm	12、3fF	8、8fF

[0032] The property of the stray capacity Cpn of the photodiode PD of the former and this invention is shown in drawing 10. From drawing 10, it can decrease about 30% from the stray capacity of the conventional photodiode PD of the same size with the photodiode PD of this invention. Furthermore, if size of Photodiode PD is made small, the ratio (Cpn/Ctr) of the stray capacity of the former and this invention will become large. That is, the ratio of stray capacity can be expressed with a formula 5.

[0033]

[Equation 5]

$$\frac{C_{pn}}{C_{tr}} = 1 + \frac{4t}{L} \quad \dots \text{式5}$$

[0034] This ratio is shown in drawing 11. This shows that the PN-junction area of the inferior surface of tongue of Photodiode PD becomes small, and the effectiveness of this invention becomes remarkable further. Therefore, when a small spot condenses like the photodiode for laser beam light-receiving, it becomes the photodiode of an area small naturally, and the reduction effectiveness of the stray capacity by the structure of this invention becomes remarkably large.

[0035] Therefore, in the detector shown in drawing 9, a cut off frequency fc becomes like a formula 6, and this cut off frequency fc is determined by the stray capacity Ctr of Photodiode PD. The property Fig. which compared the property of a cut off frequency fc with the structure of the former and this invention is shown in drawing 12.

[0036]

[Equation 6]

$$f_c = \frac{1}{2\pi C_R} \quad \dots \text{式6}$$

[0037] On the other hand, since the sensibility of Photodiode PD is naturally proportional to the area, if it is the same area, it has the sensibility of conventional this invention. However, with the structure of this invention, it becomes possible [ high-speed operation ] only for the part which can make stray capacity Ctr small. Since a carrier is not excited here even if incidence of the light is carried out to a dielectric isolation region (13) when it adjoins with the structure of this invention and two or more photodiodes PD are finally arranged Even if it is the case where the photodiode by which optical incidence is carried out was located next to [ which does not wish for optical incidence ] Photodiode PD, and this optical incidence has reached the dielectric isolation region between both (13) The photodiode PD which does not wish for optical incidence can prevent completely the conventional fault of malfunctioning on the carrier excited by the leaver section. Therefore, the array of two or more photodiodes PD is free, and since it is possible to approach further and to arrange from before, it can contribute also to the improvement in a degree of integration.

[0038]

[Effect of the Invention] If it depends on this invention, the frequency characteristics of optical semiconductor devices, such as a photodiode, can be improved sharply, and it has the advantage which can realize high-speed operation as explained above. Moreover, since the mutual intervention by the inflow of the carrier generated in PN-junction separation like before can be completely prevented when two or more photodiodes are arranged adjacently, the array of two or more photodiodes PD is free, and since it is possible to approach further and to arrange from before, it has the advantage which can contribute also to the improvement in a degree of integration.

[Translation done.]

**\* NOTICES \***

JPO and NCIPI are not responsible for any damages caused by the use of this translation.

1. This document has been translated by computer. So the translation may not reflect the original precisely.
2. \*\*\*\* shows the word which can not be translated.
3. In the drawings, any words are not translated.

---

**DESCRIPTION OF DRAWINGS**

---

**[Brief Description of the Drawings]**

[Drawing 1] It is a sectional view for explaining the optical semiconductor integrated circuit equipment of this invention.

[Drawing 2] It is a top view for explaining the optical semiconductor integrated circuit equipment of this invention.

[Drawing 3] It is a sectional view for explaining the manufacture approach of the optical semiconductor integrated circuit equipment of this invention.

[Drawing 4] It is a sectional view for explaining the manufacture approach of the optical semiconductor integrated circuit equipment of this invention.

[Drawing 5] It is a sectional view for explaining the manufacture approach of the optical semiconductor integrated circuit equipment of this invention.

[Drawing 6] It is a sectional view for explaining the manufacture approach of the optical semiconductor integrated circuit equipment of this invention.

[Drawing 7] It is a sectional view for explaining the manufacture approach of the optical semiconductor integrated circuit equipment of this invention.

[Drawing 8] It is a sectional view for explaining conventional optical semiconductor integrated circuit equipment.

[Drawing 9] It is a circuit diagram explaining the detector of the optical semiconductor device used for the former and this invention.

[Drawing 10] It is the property Fig. showing the stray capacity Cpn of a photodiode.

[Drawing 11] It is the property Fig. showing the ratio of stray capacity.

[Drawing 12] It is the property Fig. showing a cut off frequency.

---

[Translation done.]

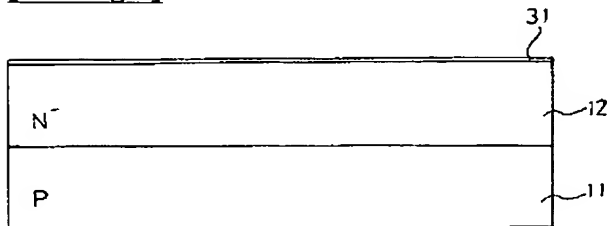
## \* NOTICES \*

JPO and NCIPI are not responsible for any damages caused by the use of this translation.

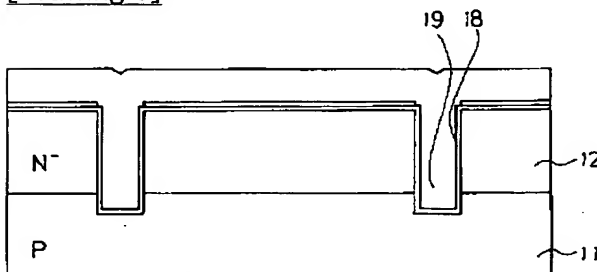
1. This document has been translated by computer. So the translation may not reflect the original precisely.
2. \*\*\*\* shows the word which can not be translated.
3. In the drawings, any words are not translated.

## DRAWINGS

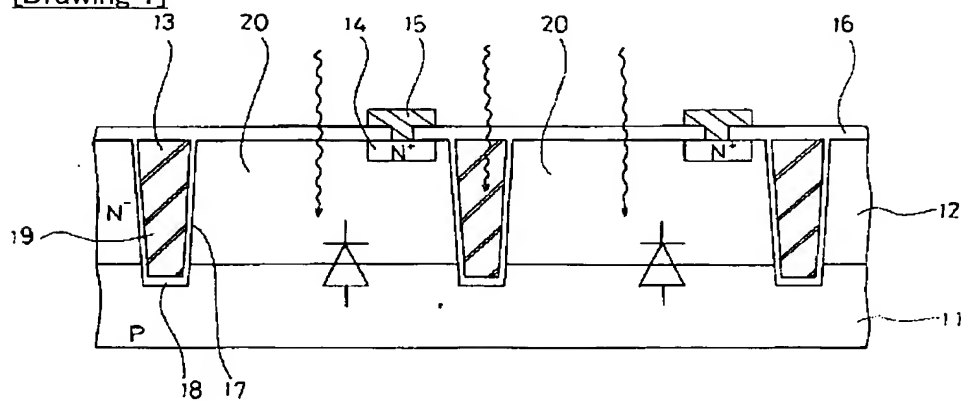
[Drawing 3]



[Drawing 5]



[Drawing 1]



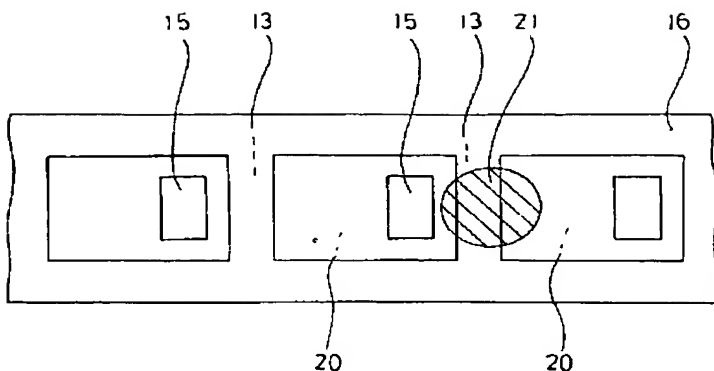
11: 基板

13: 銘電体分離領域

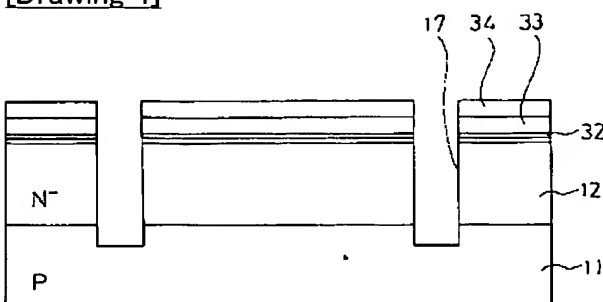
12 : エピタキシャル層

20: 島領域

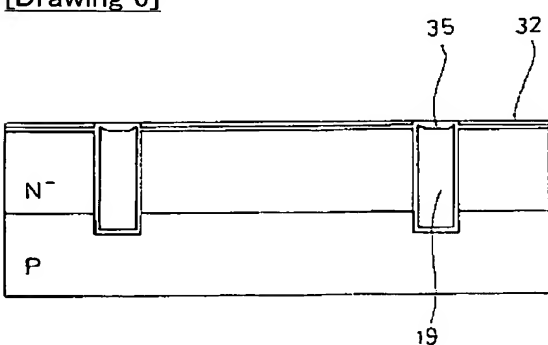
[Drawing 2]



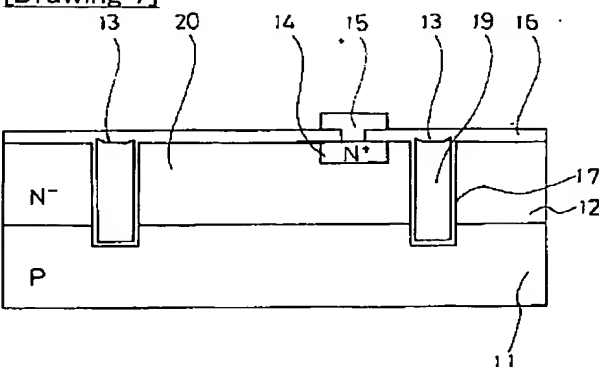
[Drawing 4]



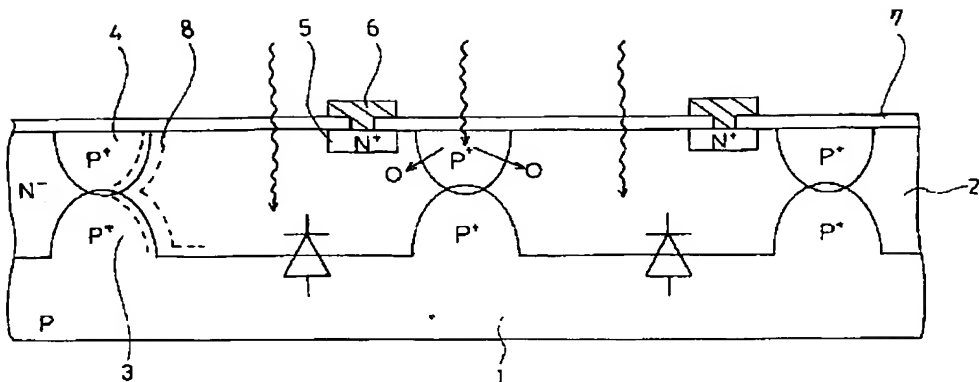
[Drawing 6]



[Drawing 7]

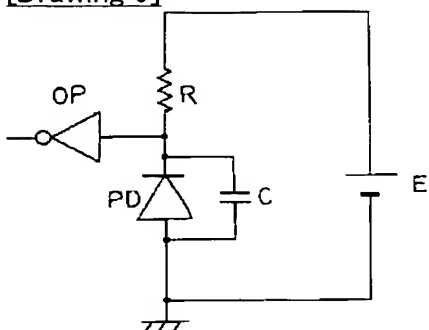


[Drawing 8]

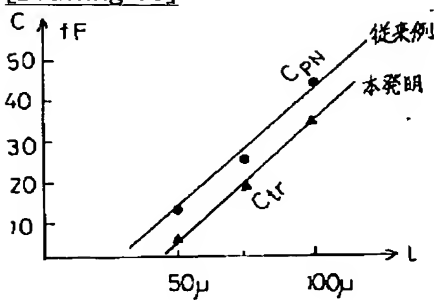


1: P型半導体基板  
2: N型エピタキシャル層  
3: P<sup>+</sup>型側面分離領域  
4: P<sup>+</sup>型上側分離領域  
5: N<sup>+</sup>型カソード取り出し拡散領域  
6: カソード電極  
7: 電極層  
8: 空乏層

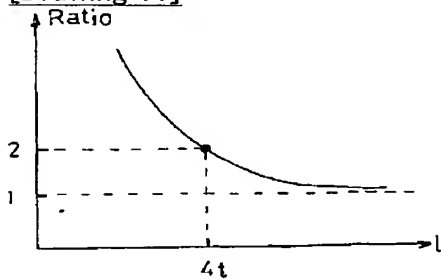
[Drawing 9]



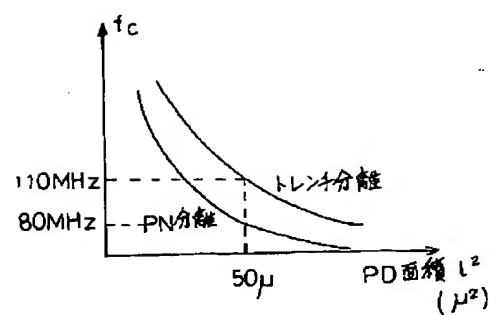
[Drawing 10]



[Drawing 11]



[Drawing 12]



---

[Translation done.]

(19)日本国特許庁 (JP)

## (12) 公開特許公報 (A)

(11)特許出願公開番号

特開平9-213917

(43)公開日 平成9年(1997)8月15日

(51)Int CL*	識別記号	府内整理番号	F I	技術表示箇所
H 01 L	27/14		H 01 L 27/14	Z
	27/15		27/15	D
	31/10		31/10	A

審査請求 未請求 請求項の数7 OL (全7頁)

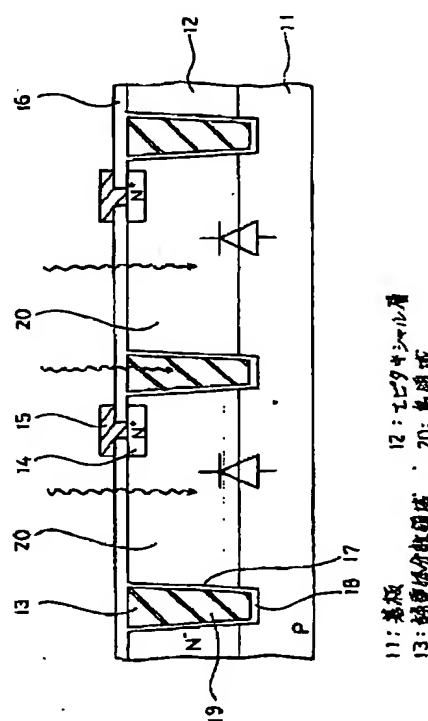
(21)出願番号	特願平8-16118	(71)出願人	000001889 三洋電機株式会社 大阪府守口市京阪本通2丁目5番5号
(22)出願日	平成8年(1996)1月31日	(72)発明者	田端 輝夫 大阪府守口市京阪本通2丁目5番5号 三 洋電機株式会社内
		(74)代理人	弁理士 岡田 敏

## (54)【発明の名称】光半導体集積回路装置

## (57)【要約】

【課題】エピタキシャル層12に形成される光半導体装置を分離領域の寄生容量による動作周波数特性の悪化から守る構造を実現し、また複数の光半導体装置間の誤動作から免れる構造を実現する。

【解決手段】エピタキシャル層12を半導体基板11まで到達する誘電体分離領域13で分離した島領域20を形成し、この島領域20にフォトダイオード等の光半導体装置をそれぞれ形成する。また複数の光半導体装置を隣接して形成するときは、個々の光半導体装置を誘電体分離領域13で囲むように分離する。



**【特許請求の範囲】**

**【請求項 1】** 一導電型の半導体基板と前記半導体基板上に形成された逆導電型のエビタキシャル層と前記エビタキシャル層を貫通し少なくとも前記半導体基板に到達した誘電体分離領域とを具備し、前記誘電体分離領域で囲まれた前記エビタキシャル層を用いた光半導体装置を形成したことを特徴とする光半導体集積回路装置。

**【請求項 2】** 一導電型の半導体基板と前記半導体基板上に形成された逆導電型のエビタキシャル層と前記エビタキシャル層を貫通し少なくとも前記半導体基板に到達した誘電体分離領域とを具備し、前記誘電体分離領域で囲まれた前記エビタキシャル層と前記半導体基板で形成されたPN接合を用いた光半導体装置を形成したことを特徴とする光半導体集積回路装置。

**【請求項 3】** 前記誘電体分離領域は前記半導体基板まで到達したトレンチと前記トレンチに充填された多結晶シリコンとで形成されたことを特徴とする請求項1または請求項2記載の光半導体集積回路装置。

**【請求項 4】** 前記光半導体装置はフォトダイオードであることを特徴とした請求項1または請求項2記載の光半導体集積回路装置。

**【請求項 5】** 一導電型の半導体基板と前記半導体基板上に形成された逆導電型のエビタキシャル層と前記エビタキシャル層を貫通し少なくとも前記半導体基板に到達した誘電体分離領域とを具備し、前記誘電体分離領域で囲まれ且つ隣接した複数の前記エビタキシャル層を用いた複数の光半導体装置を有することを特徴とする光半導体集積回路装置。

**【請求項 6】** 前記誘電体分離領域は前記半導体基板まで到達したトレンチと前記トレンチに充填された多結晶シリコンとで形成されたことを特徴とする請求項4記載の光半導体集積回路装置。

**【請求項 7】** 前記光半導体装置はフォトダイオードであることを特徴とした請求項5記載の光半導体集積回路装置。

**【発明の詳細な説明】****【0001】**

**【発明の属する技術分野】** 本発明は、誘電体分離を用いたフォトダイオード等の光半導体装置を内蔵する光半導体集積回路装置に関する。

**【0002】**

**【従来の技術】** 受光素子であるフォトダイオードとその周辺回路とを一体化したモノリシック光半導体集積回路装置はそれを別個に作りハイブリッド化した集積回路装置に比べて、大幅なコストダウンが実現でき、外部から電磁界による雑音にも強い利点を有している。

**【0003】** 従来の光半導体集積回路装置は例えば特公平1-205564号公報に記載されているものが知られている。図8および図9を用いて従来の光半導体集積回路装置について説明する。図8において、(1)はP

型の半導体基板、(2)はN-型のエビタキシャル層、(3)はP+型の下側分離領域、(4)はP+型の上側分離領域、(5)はN+型カソード取り出し拡散領域、(6)はカソード電極、(7)はシリコン酸化膜である。

**【0004】**かかる構造では、半導体基板(1)と上側分離領域(4)および下側分離領域(3)で囲まれたエビタキシャル層(2)との間で形成されるPN接合をフォトダイオードとして利用される。このフォトダイオードではエビタキシャル層(2)に入射される光により発生されるキャリアを電流としてカソード取り出し拡散領域(5)にオーム接觸したカソード電極(6)から検出して用いる。

**【0005】**図9はその検出回路を示す。直流電源E間に直列に検出抵抗RとフォトダイオードPDを接続し、フォトダイオードPDと検出抵抗Rの接続ノードの電位をオペアンプOPで検出している。なおフォトダイオードPDに並列に接続された容量Cは上側および下側分離領域(3)(4)とエビタキシャル層(2)間に逆バイアス電位により形成された図8に点線で示した空乏層(8)による寄生容量である。

**【0006】**また図8では隣接した2個のフォトダイオードが示されている。それぞれのフォトダイオードには図9に示す検出回路がそれぞれ接続されており、当然同一の集積回路装置内に集積化されている。

**【0007】**

**【発明が解決しようとする課題】** しかしながら、かかる構造の光半導体集積回路装置では空乏層(8)による寄生容量が必然的に形成されるので、図9に示す検出抵抗Rとで時定数回路が形成され、寄生容量が大きいほどフォトダイオードPDの周波数特性が悪くなり、高速動作を阻害する問題点を有している。

**【0008】**また図8に示すように複数のフォトダイオードPDを隣接して配置した場合、フォトダイオードPD間を分離している分離領域(3)(4)に光が入射されると、それにより励起されたキャリアが隣接した両方のフォトダイオードPDに流れてしまう。そのために光の入射を希望しないフォトダイオードPDでも光の入射がなされたと検出される問題点を有していた。これを防止するには入射される光のスポットに比べて充分に大きな分離領域(3)(4)に形成するか、全く独立してフォトダイオードPDを配置する制約を受け、集積度を低下させる問題点も有していた。

**【0009】**

**【課題を解決するための手段】** 本発明はかかる従来の課題に鑑みなされたもので、フォトダイオードを囲むエビタキシャル層を誘電体分離領域で分離することにより、寄生容量による周波数特性の悪化および隣接したフォトダイオードの誤動作を防止する光半導体集積回路装置を提供するものである。

【0010】本発明に依れば、誘電体分離領域を用いているので、誘電体分離領域とエピタキシャル層間で逆バイアス電位による空乏層の発生が無く、空乏層による寄生容量が無くフォトダイオードの周波数特性の悪化を排除でき、高速動作を実現できる。また本発明に依れば、隣接した複数のフォトダイオードを形成する場合に各フォトダイオード間を誘電体分離領域で分離しているので、誘電体分離領域に光が入射されても誘電体分離領域からその光により励起されたキャリアは発生されず隣接したフォトダイオード間での誤動作は防止できる。

#### 【0011】

【発明の実施の形態】以下に本発明を図面を参照しながら詳細に説明する。図1は本発明による光半導体集積回路装置を示す断面図である。図2は本発明による光半導体集積回路装置を示す平面図である。図1において、

(11)はP型の半導体基板、(12)はN-型のエピタキシャル層、(13)は誘電体分離領域、(14)はN+型カソード取り出し拡散領域、(15)はカソード電極、(16)はシリコン酸化膜である。

【0012】P型の半導体基板(11)はシリコン単結晶基板を用い、半導体集積回路装置を完成したときに200~1500Ω·cmの比抵抗を有しており、また半導体集積回路装置を機械的に支持しているので300ミクロン以上と厚く形成されている。N-型のエピタキシャル層(12)は半導体基板(11)上に気相成長法によりリン(P)ドープで成長され、厚さ4~10μに積層される。この厚みは入射される光により最適の厚みに選定される。

【0013】本発明の特徴とする誘電体分離領域(13)はエピタキシャル層(12)表面より半導体基板(11)まで達するトレンチ(17)とその表面を酸化して形成した約3000Åのウオール酸化膜(18)とトレンチ(17)を充填する多結晶シリコン等の誘電体材料層(19)とで構成されている。本発明ではフォトダイオード等の光半導体装置を形成する島領域(20)をこの誘電体分離領域(13)で完全に取り囲んでいることが特徴である。従って図1に示すように複数の光半導体装置を隣接して形成される場合は両光半導体装置は完全にその島領域(20)を誘電体分離領域(13)で分離される。

【0014】N-型のカソード取り出し拡散領域(14)は選択拡散法によりたとえばNPNトランジスタのエミッタ拡散時に同時にエピタキシャル層(12)の上面に形成される。そのカソード取り出し拡散領域(14)にはオーミック接触したアルミニウムのカソード電極(15)を設ける。上述した本発明による光半導体装置は単独で半導体集積回路装置内に組み込まれる場合もあり、また図2に示すように複数の光半導体装置を列状に複数個並べて組み込まれる場合もある。かかる光半導体装置はP型の半導体基板(11)が共通のアノード領

域を形成し、誘電体分離領域(13)で個々に分離されたN-型のエピタキシャル層(12)がカソード領域を形成し、半導体基板(11)とN-型のエピタキシャル層(12)で形成されたPN接合が各光半導体装置のPN接合を構成している。

【0015】かかる本発明による光半導体装置の検出回路は図9に示すものと同様の回路を用い、複数個の光半導体装置があるときは個別に検出回路を設ける。当然であるが、この検出回路は光半導体装置の近くのエピタキシャル層(12)に集積化される。このような本発明による光半導体装置では、エピタキシャル層(12)を誘電体分離領域(13)で電気的に分離しているので、誘電体分離領域(13)に分離のための逆バイアス電位の印可が不要となり、PN分離のときに発生する逆バイアスによる空乏層の発生が皆無となる。従って空乏層による寄生容量の発生がなく、図9に示す検出回路の検出抵抗Rとで形成される時定数回路が除去できる。これによりフォトダイオード等の光半導体装置の周波数特性を大幅に改善でき、高速動作を実現できる。

【0016】また図2に示す直列に隣接して複数のフォトダイオード等の光半導体装置を配置した場合には、この個別の光半導体装置に入射される光のスポット(21)が通常分離領域の幅より大きいので、このスポット(21)が隣接する光半導体装置に移行する際に必ず両方の光半導体装置に跨って入射される。本発明では誘電体分離領域(13)を採用しているので、そのスポット(21)がこの誘電体分離領域(13)に入射されてもこの光の入射により誘電体分離領域(13)から励起されたキャリアが発生されないので、確実にスポット(20)が大きく入射されている光半導体装置を検出でき、従来のようなPN接合分離で発生するキャリアの流入による相互干渉を完全に防止できる。

【0017】続いて以下に本発明による光半導体集積回路装置の製造方法を図3から図7を参照して説明する。まず図3において、P型の半導体基板(11)上にN-型のエピタキシャル層(12)を積層する。本工程では周知の気相成長法により0.5Ω·cm程度のN-型のエピタキシャル層(12)を約4~10μ程度に積層される。このエピタキシャル層(12)の厚みは通常時間により制御され、入射される光に適した厚みを選択される。なおエピタキシャル層(12)表面は第1のシリコン酸化膜(31)を熱酸化により形成する。

【0018】図4において、エピタキシャル層(12)を貫通するようにトレンチ(17)を形成する。第1のシリコン酸化膜(31)上に約1000Åのシリコン窒化膜(32)を減圧CVD法により付着する。続いてその上に約5000Åのリンガラス(PSG)層(33)を減圧CVD法により付着する。ベーリングをした後、予定のトレンチ(17)上の第1のシリコン酸化膜(31)、シリコン窒化膜(32)およびリンガラス層(33)

3) を選択エッティングするために予定のトレンチ (17) 上を除きフォトレジスト層 (34) で被覆する。続いて異方性ドライエッティングによりリンガラス層 (33)、シリコン窒化膜 (32)、第1のシリコン酸化膜 (31) の順に除去し、露出されたシリコンよりなるエピタキシャル層 (12) の異方性ドライエッティングを行い、半導体基板 (11) まで到達するトレンチ (17) を形成する。

【0019】図5において、フォトレジスト層 (34) を除去した後、トレンチ (17) 内に誘電体材料である多結晶シリコン層 (36) を充填する。まずトレンチ (17) の側面を 900°C、スチーム雰囲気中でダミー酸化により約 1000 Å の薄いダミー酸化膜 (図示せず) を形成し、さらにリンガラス層 (33) を除去して 1000°C、スチーム雰囲気内で酸化し、約 3000 Å のウォール酸化膜 (18) を形成する。次に、全面にノンドープの多結晶シリコンを約 1.5 μの厚みに減圧 CVD 法で付着し、トレンチ (17) 内を誘電体材料層 (19) で埋める。

【0020】図6において、表面に堆積された多結晶シリコンは異方性エッティングによりエッチバツクされて除去され、トレンチ (17) 内の多結晶シリコンのみが残される。次にシリコン窒化膜 (32) をマスクとして用

$$\begin{aligned} C_{pn} &= \frac{\epsilon_0 \epsilon_s}{d} S \\ &= \frac{\epsilon_0 \epsilon_s}{d} [L^2 + 4tL] \\ C_{pn} &= \frac{\epsilon_0 \epsilon_s}{d} [(L+2t)^2 - 4t^2] \dots \text{式1} \end{aligned}$$

【0024】ここで d は空乏層 (8) の幅 (μm) であり、PN接合分離への印加電圧の関数であるので、同一の使用条件下では定数とみなせる。S はフォトダイオード PD の側面を含めた表面積 (μm × μm) であり、式 2 で表すこともできる。

【0025】

【数2】

$$S = L^2 + 4tL \dots \text{式2}$$

【0026】一方本発明の誘電体分離のフォトダイオード PD では、側壁の浮遊容量は無視できる位小さいので、式 3 で浮遊容量を表すことができる。

【0027】

【数3】

$$\epsilon_0 \epsilon_s$$

$$C_{tr} = \frac{\epsilon_0 \epsilon_s}{d} L^2 \dots \text{式3}$$

い、選択酸化してトレンチ (17) の多結晶シリコン層 (19) 上面に約 2500 Å のキャップ酸化膜 (35) を形成する。その後シリコン窒化膜 (32) を除去し、同時にキャップ酸化膜 (35) も除去されるので平坦な上面が形成される。

【0021】図7において、誘電体分離領域 (13) で囲まれたエピタキシャル層 (12) で形成された島領域 (20) の表面には選択拡散法により N+型のカソード取り出し拡散領域 (14) を形成する。たとえば、カソード取り出し拡散領域 (14) は NPN トランジスタのエミッタ拡散と同時に形成される場合が多い。その後カソード取り出し拡散領域 (14) のシリコン酸化膜 (16) にコンタクト孔を形成した後、全面にアルミニウム層をスパッターで付着し、所定形状にドライエッティングしてカソード電極 (15) を形成する。

【0022】フォトダイオード PD のエピタキシャル層 (12) の表面を大きさを 1 辺 L μ の正方形とし、エピタキシャル層 (12) の厚みを t μ と仮定すると、第8 図に示す従来の上下 PN 接合分離構造におけるフォトダイオード PD の浮遊容量 C<sub>pn</sub> は式 1 で表される

【0023】

【数1】

【0028】従って、式 1 と式 3 との差である式 4 の分だけ、従来のフォトダイオード PD より本発明のフォトダイオードの方が浮遊容量を低減できる。

【0029】

【数4】

$$\frac{\epsilon_0 \epsilon_s}{d} 4tL \dots \text{式4}$$

【0030】具体的には、L を 100 μ角、t を 5 μ、PN接合分離への印加電圧を 1 V とすると表 1 の通りとなる。

【0031】

【表1】

L	従来例	本発明
100 μm	42, 1 fF	35, 1 fF
50 μm	12, 3 fF	8, 8 fF

【0032】図10に従来と本発明のフォトダイオードPDの浮遊容量C<sub>p n</sub>の特性を示す。図10から、本発明のフォトダイオードPDでは同一サイズの従来のフォトダイオードPDの浮遊容量より約30%も減少できる。更にフォトダイオードPDのサイズを小さくすると、従来と本発明の浮遊容量の比(C<sub>p n</sub>/C<sub>t r</sub>)は大きくなる。即ち、浮遊容量の比を式5で表すことができる。

### 【0033】

【数5】

$$\frac{C_{p n}}{C_{t r}} = 1 + \frac{4t}{L} \quad \dots \text{式5}$$

【0034】このレシオを図11に示す。これはフォトダイオードPDの下面のPN接合面積が小さくなり、更に本発明の効果が顕著になることを示している。従ってレーザ光受光用のフォトダイオードのように小さいスポットに凝縮される場合は当然小さい面積のフォトダイオードとなり、本発明の構造による浮遊容量の削減効果は著しく大きくなる。

【0035】従って図9に示す検出回路では、カットオフ周波数f<sub>c</sub>は式6のようになり、フォトダイオードPDの浮遊容量C<sub>t r</sub>によりこのカットオフ周波数f<sub>c</sub>は決定される。カットオフ周波数f<sub>c</sub>の特性を従来と本発明の構造と比較した特性図を図12に示す。

### 【0036】

【数6】

$$f_c = \frac{1}{2\pi C R} \quad \dots \text{式6}$$

【0037】一方、フォトダイオードPDの感度は当然その面積に比例するので、同一面積であれば従来の本発明の感度を持つ。しかし本発明の構造では浮遊容量C<sub>t r</sub>を小さくできる分だけ高速動作が可能となる。最後に、本発明の構造では隣接して複数のフォトダイオードPDを配列した際に、誘電体分離領域(13)に光が入射されてもここではキャリアが励起されないので、光入射を希望しないフォトダイオードPDの隣に光入射されているフォトダイオードが位置し、該光入射が両者間の誘電体分離領域(13)にも及んでいる場合であっても、光入射を希望しないフォトダイオードPDが分離部

分で励起したキャリアで誤動作するといった従来の欠点を完全に防止できる。従って複数のフォトダイオードPDの配列が自由であり、また従来より更に近接して配置することが可能であるので、集積度向上にも寄与できる。

### 【0038】

【発明の効果】以上に説明したとおり、本発明に依ればフォトダイオード等の光半導体装置の周波数特性を大幅に改善でき、高速動作を実現できる利点を有する。また、隣接して複数のフォトダイオードを配列した場合は、従来のようなPN接合分離で発生するキャリアの流入による相互干渉を完全に防止できるので、複数のフォトダイオードPDの配列が自由であり、また従来より更に近接して配置することが可能であるので、集積度向上にも寄与できる利点を有するものである。

### 【図面の簡単な説明】

【図1】本発明の光半導体集積回路装置を説明するための断面図である。

【図2】本発明の光半導体集積回路装置を説明するための平面図である。

【図3】本発明の光半導体集積回路装置の製造方法を説明するための断面図である。

【図4】本発明の光半導体集積回路装置の製造方法を説明するための断面図である。

【図5】本発明の光半導体集積回路装置の製造方法を説明するための断面図である。

【図6】本発明の光半導体集積回路装置の製造方法を説明するための断面図である。

【図7】本発明の光半導体集積回路装置の製造方法を説明するための断面図である。

【図8】従来の光半導体集積回路装置を説明するための断面図である。

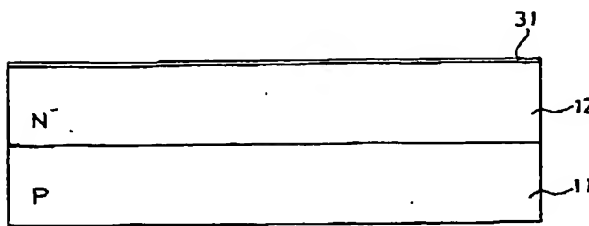
【図9】従来および本発明に用いる光半導体装置の検出回路を説明する回路図である。

【図10】フォトダイオードの浮遊容量C<sub>p n</sub>を示す特性図である。

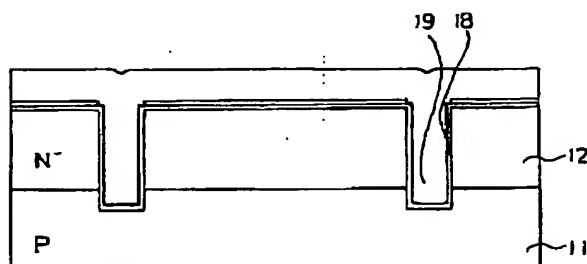
【図11】浮遊容量の比を示す特性図である。

【図12】カットオフ周波数を示す特性図である。

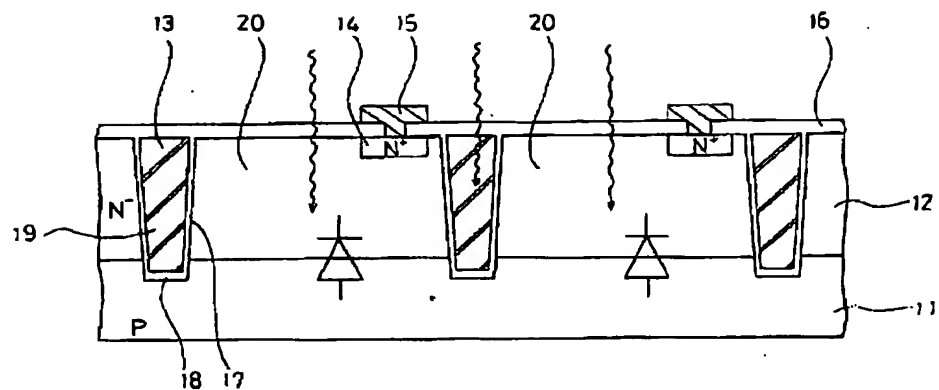
【図3】



【図5】

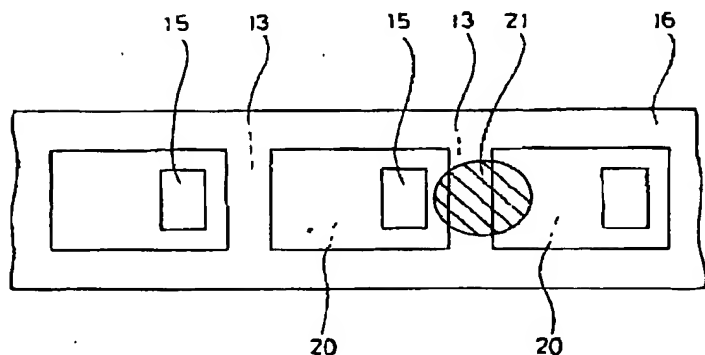


【図1】

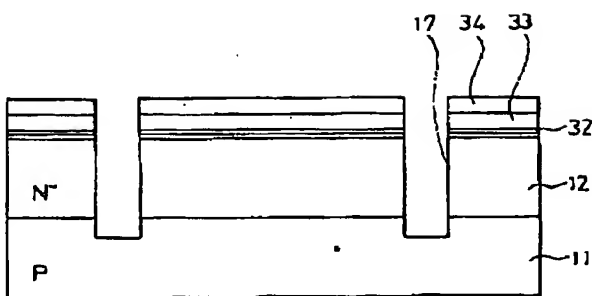


11: 基板  
13: 銅電極分離領域  
16: ドレイン電極  
12: エピタキシャル層  
20: 施設

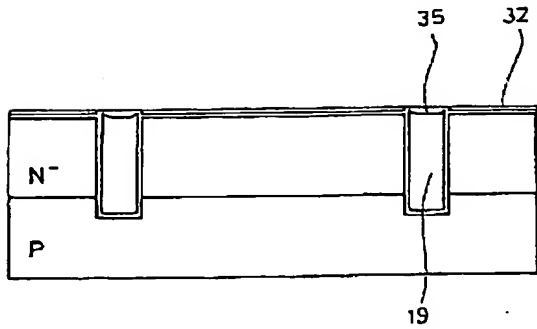
【図2】



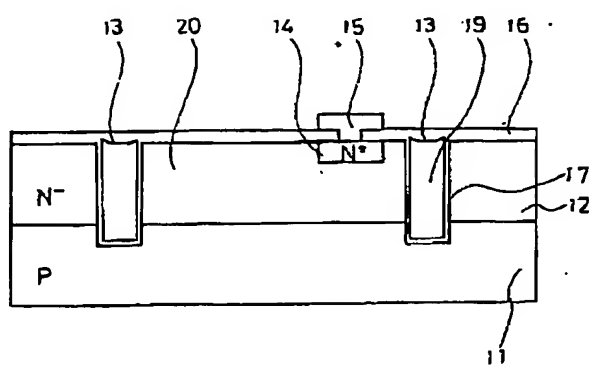
【図4】



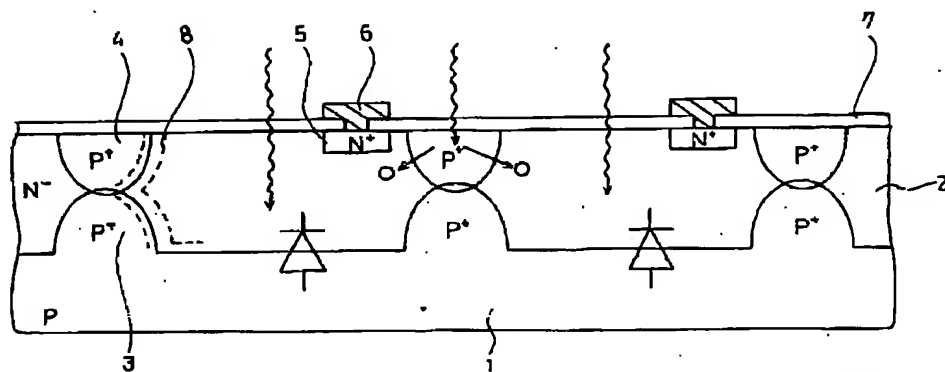
【図6】



【図7】

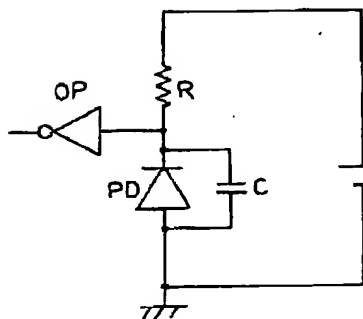


【図8】

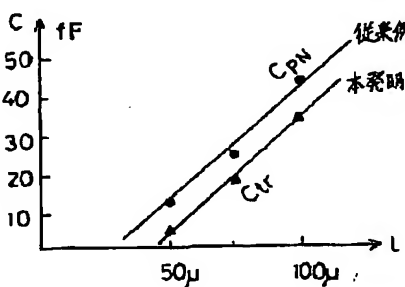


- 1: P型半導体基板  
2:N型エピタキシャル層  
3:P+型下側分離領域  
4:P+型上側分離領域  
5:N+型カソード取り出し拡散領域  
6:カソード電極  
7:酸化膜  
8:空気層

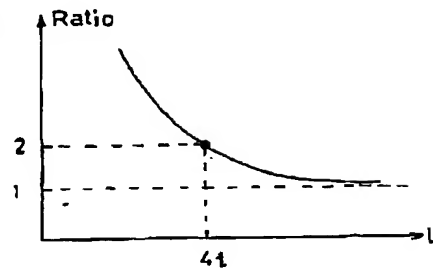
【図9】



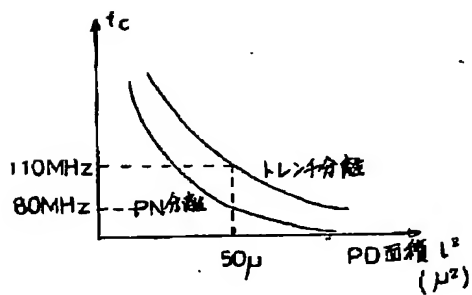
【図10】



【図11】



【図12】



**This Page is Inserted by IFW Indexing and Scanning  
Operations and is not part of the Official Record**

**BEST AVAILABLE IMAGES**

Defective images within this document are accurate representations of the original documents submitted by the applicant.

Defects in the images include but are not limited to the items checked:

**BLACK BORDERS**

**IMAGE CUT OFF AT TOP, BOTTOM OR SIDES**

**FADED TEXT OR DRAWING**

**BLURRED OR ILLEGIBLE TEXT OR DRAWING**

**SKEWED/SLANTED IMAGES**

**COLOR OR BLACK AND WHITE PHOTOGRAPHS**

**GRAY SCALE DOCUMENTS**

**LINES OR MARKS ON ORIGINAL DOCUMENT**

**REFERENCE(S) OR EXHIBIT(S) SUBMITTED ARE POOR QUALITY**

**OTHER:** \_\_\_\_\_

**IMAGES ARE BEST AVAILABLE COPY.**

**As rescanning these documents will not correct the image problems checked, please do not report these problems to the IFW Image Problem Mailbox.**